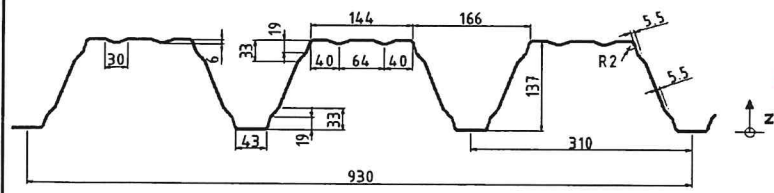


Stahltrapezprofil Typ **M 135.1/310**

Querschnitts- und Bemessungswerte

EN 1993-1-3

Profiltafel in **Positivlage**



Anlage 10.1

Als Typenentwurf

in bautechnischer Hinsicht geprüft

Prüfbescheid-Nr. **T 18-007**

Landesdirektion Sachsen
- Landesstelle für Bautechnik -

Leipzig, den 09.03.2018

Nennstreckgrenze des Stahlkerns $f_{y,k} = 320 \text{ N/mm}^2$

Charakteristische Tragfähigkeitswerte für andrückende Flächenbelastung ³⁾

Nennblechdicke	Feldmoment	Endauflagerkraft ⁶⁾		Elastisch aufnehmbare Schnittgrößen an Zwischenauflagern ^{1) 2) 4) 5)}												
				Querkraft	Quadratische Interaktion						Zwischenauflagerkräfte ¹⁹⁾					
					Stützmomente ¹⁹⁾			Zwischenauflagerkräfte ¹⁹⁾			Stützkräfte ¹⁹⁾			Zwischenauflagerkräfte ¹⁹⁾		
					$l_{a,B} = 60 \text{ mm}$	$l_{a,B} = 160 \text{ mm}$	$l_{a,B} = -$	$l_{a,B} = 60 \text{ mm}$	$l_{a,B} = 160 \text{ mm}$	$l_{a,B} = -$	$l_{a,B} = 60 \text{ mm}$	$l_{a,B} = 160 \text{ mm}$	$l_{a,B} = -$			
t_N	$M_{c,Rk,F}$	$R_{w,Rk,A}$	$V_{w,Rk}$	$M_{0,Rk,B}$	$M_{c,Rk,B}$	$M_{0,Rk,B}$	$M_{c,Rk,B}$	$M_{0,Rk,B}$	$M_{c,Rk,B}$	$R_{0,Rk,B}$	$R_{w,Rk,B}$	$R_{0,Rk,B}$	$R_{w,Rk,B}$	$R_{0,Rk,B}$	$R_{w,Rk,B}$	
mm	kNm/m	kN/m		kN/m												
0,75	10,20	6,32	9,57	28,17	9,44	7,86	10,80	9,56	-	-	24,67	22,06	35,94	32,15	-	-
0,88	12,60	8,82	13,18	45,40	12,30	10,50	14,30	12,70	-	-	33,84	30,27	48,94	43,78	-	-
1,00	14,80	11,47	16,94	66,39	14,90	12,90	17,40	15,60	-	-	43,37	38,79	62,34	55,76	-	-
1,13	17,54	14,69	21,46	95,38	16,44	16,44	16,44	16,44	-	-	54,80	49,02	78,30	70,03	-	-
1,25	20,60	17,99	26,05	123,00	21,30	19,20	24,00	21,90	-	-	66,35	59,35	94,31	84,36	-	-
1,50	26,50	19,06	36,83	176,82	27,80	25,40	30,60	28,40	-	-	93,39	83,53	131,49	117,61	-	-

Reststützmomente ⁷⁾

t_N	$l_{a,B} = 60 \text{ mm}$			$l_{a,B} = 160 \text{ mm}$			$l_{a,B} = -$			Reststützmomente $M_{R,Rk}$
	min L	max L	max $M_{R,Rk}$	min L	max L	max $M_{R,Rk}$	min L	max L	max $M_{R,Rk}$	
	mm	m	kNm/m	m	kNm/m	m	kNm/m	kNm/m		
0,75	6,62	7,46	2,24	8,02	8,83	1,84	-	-	-	$M_{R,Rk} = 0$ für $L \leq \min L$ $M_{R,Rk} = \max M_{R,Rk}$ für $L \geq \max L$ $M_{R,Rk} = \frac{L - \min L}{\max L - \min L} * \max M_{R,Rk}$
0,88	5,08	5,95	3,59	6,00	6,85	3,04	-	-	-	
1,00	4,43	5,33	4,82	5,18	6,05	4,14	-	-	-	
1,13	4,21	5,13	6,31	4,85	5,48	5,86	-	-	-	
1,25	4,00	4,92	7,42	4,14	5,05	7,16	-	-	-	
1,50	3,82	4,75	10,00	3,75	4,68	10,20	-	-	-	

Charakteristische Tragfähigkeitswerte für abhebende Flächenbelastung ^{1) 2)}

Nennblechdicke	Feldmoment	Befestigung in jedem anliegenden Gurt						Befestigung in jedem 2. anliegenden Gurt					
		Endauflagerkraft	Quadratische Interaktion				Endauflagerkraft	Quadratische Interaktion					
			Zwischenaufleger					Zwischenaufleger					
t_N	$M_{c,Rk,F}$	$R_{w,Rk,A}$	$M_{0,Rk,B}$	$M_{c,Rk,B}$	$R_{0,Rk,B}$	$R_{w,Rk,B}$	$V_{w,Rk}$	$R_{w,Rk,A}$	$M_{0,Rk,B}$	$M_{c,Rk,B}$	$R_{0,Rk,B}$	$R_{w,Rk,B}$	$V_{w,Rk}$
mm	kNm/m	kN/m	kN/m				kN/m	kN/m					
0,75	8,51	28,21	12,95	10,36	-	-	28,17	14,10	6,47	5,18	-	-	14,09
0,88	11,32	45,46	16,21	12,97	-	-	45,40	22,73	8,10	6,48	-	-	22,70
1,00	13,96	66,48	19,22	15,38	-	-	66,39	33,24	9,61	7,69	-	-	33,20
1,13	16,44	95,24	22,97	18,38	-	-	95,38	47,62	11,49	9,19	-	-	47,69
1,25	18,60	123,64	26,52	21,21	-	-	123,00	61,82	13,26	10,61	-	-	61,50
1,50	22,77	176,83	33,32	26,66	-	-	176,82	88,41	16,66	13,33	-	-	88,41

Fußnoten s. Beiblatt 1/2 bzw. 2/2

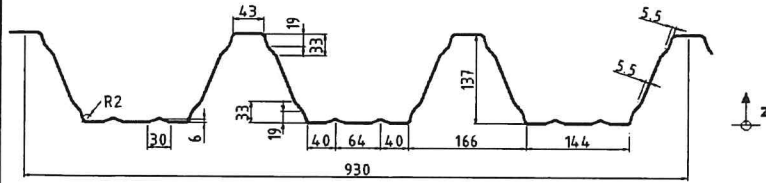
Stahltrapezprofil Typ

M 135.1/310

Querschnitts- und Bemessungswerte

EN 1993-1-3

Profiltafel in Negativlage



Anlage 10.3

Als Typenentwurf

in bautechnischer Hinsicht geprüft

Prüfbescheid-Nr. T 18-007

Landesdirektion Sachsen

- Landesstelle für Bautechnik -

Leipzig, den 09.03.2018



Leiter

Bearbeiter

Nennstreckgrenze des Stahlkerns $f_{y,k} = 320 \text{ N/mm}^2$

Charakteristische Tragfähigkeitswerte für andrückende Flächenbelastung ³⁾

Nennblechdicke	Feldmoment	Endauflagerkraft ⁶⁾		Elastisch aufnehmbare Schnittgrößen an Zwischenauflagern ^{1) 2) 4) 5)}												
				Quer- kraft	Quadratische Interaktion						Zwischenaflagerkräfte ¹⁰⁾					
					Stützmomente ¹⁰⁾			Zwischenaflagerkräfte ¹⁰⁾			Stützmomente ¹⁰⁾			Zwischenaflagerkräfte ¹⁰⁾		
					$l_{a,B} = 60 \text{ mm}$	$l_{a,B} = 160 \text{ mm}$	$l_{a,B} = -$	$l_{a,B} = 60 \text{ mm}$	$l_{a,B} = 160 \text{ mm}$	$l_{a,B} = -$	$l_{a,B} = 60 \text{ mm}$	$l_{a,B} = 160 \text{ mm}$	$l_{a,B} = -$			
t_N	$M_{c,Rk,F}$	$R_{w,Rk,A}$	$V_{w,Rk}$	$M_{0,Rk,B}$	$M_{c,Rk,B}$	$M_{0,Rk,B}$	$M_{c,Rk,B}$	$M_{0,Rk,B}$	$M_{c,Rk,B}$	$R_{0,Rk,B}$	$R_{w,Rk,B}$	$R_{0,Rk,B}$	$R_{w,Rk,B}$	$R_{0,Rk,B}$	$R_{w,Rk,B}$	
mm	kNm/m	kN/m		kNm/m						kN/m						
0,75	9,83	5,08	7,16	28,17	10,60	8,69	12,00	9,71	-	-	19,82	17,73	28,88	25,84	-	-
0,88	12,80	7,08	10,40	45,40	13,40	11,20	14,30	12,10	-	-	27,17	24,30	39,30	35,15	-	-
1,00	15,50	9,28	13,30	66,39	16,10	13,60	16,50	14,40	-	-	35,10	31,40	50,46	45,13	-	-
1,13	16,44	12,08	17,65	95,38	17,54	17,54	17,54	17,54	-	-	45,06	40,30	64,37	57,58	-	-
1,25	21,30	15,08	24,60	123,00	23,70	20,60	24,50	21,90	-	-	55,63	49,76	79,07	70,72	-	-
1,50	27,20	19,06	36,20	176,82	31,50	27,50	32,40	29,50	-	-	82,50	73,79	116,16	103,89	-	-

Reststützmomente ⁷⁾

t_N	$l_{a,B} = 60 \text{ mm}$			$l_{a,B} = 160 \text{ mm}$			$l_{a,B} = -$			Reststützmomente $M_{R,Rk}$		
	min L	max L	max $M_{R,Rk}$	min L	max L	max $M_{R,Rk}$	min L	max L	max $M_{R,Rk}$	$M_{R,Rk} = 0$ für $L \leq \min L$ $M_{R,Rk} = \max M_{R,Rk}$ für $L \geq \max L$ $M_{R,Rk} = \frac{L - \min L}{\max L - \min L} \cdot \max M_{R,Rk}$		
	mm	m	kNm/m	m	m	kNm/m	m	m	kNm/m			
0,75	7,67	8,48	1,86	6,84	7,67	2,08	-	-	-			
0,88	6,72	7,55	2,75	6,24	7,08	2,96	-	-	-			
1,00	6,30	7,14	3,57	5,95	6,80	3,77	-	-	-			
1,13	5,56	6,41	5,04	4,93	5,81	5,84	-	-	-			
1,25	5,01	5,89	6,15	4,16	5,07	7,39	-	-	-			
1,50	4,52	5,43	8,71	3,54	4,49	11,00	-	-	-			

Charakteristische Tragfähigkeitswerte für abhebbende Flächenbelastung ^{1) 2)}

Nennblechdicke	Feldmoment	Befestigung in jedem anliegenden Gurt						Befestigung in jedem 2. anliegenden Gurt					
		Endauflagerkraft	Quadratische Interaktion			Endauflagerkraft	Quadratische Interaktion						
			Zwischenaflager				Zwischenaflager						
t_N	$M_{c,Rk,F}$	$R_{w,Rk,A}$	$M_{0,Rk,B}$	$M_{c,Rk,B}$	$R_{0,Rk,B}$	$R_{w,Rk,B}$	$V_{w,Rk}$	$R_{w,Rk,A}$	$M_{0,Rk,B}$	$M_{c,Rk,B}$	$R_{0,Rk,B}$	$R_{w,Rk,B}$	$V_{w,Rk}$
mm	kNm/m	kN/m	kNm/m			kN/m			kN/m	kNm/m			kN/m
0,75	9,72	28,21	10,39	8,31	-	-	28,17	14,10	5,20	4,16	-	-	14,09
0,88	12,21	45,46	13,80	11,04	-	-	45,40	22,73	6,90	5,52	-	-	22,70
1,00	14,51	66,48	16,81	13,45	-	-	66,39	33,24	8,40	6,72	-	-	33,20
1,13	17,54	95,24	20,04	16,03	-	-	95,38	47,62	10,02	8,02	-	-	47,69
1,25	20,34	123,64	23,08	18,46	-	-	123,00	61,82	11,54	9,23	-	-	61,50
1,50	26,10	176,83	28,46	22,77	-	-	176,82	88,41	14,23	11,39	-	-	88,41

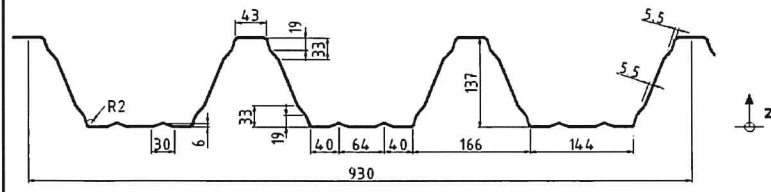
Fußnoten s. Beiblatt 1/2 bzw. 2/2

Stahltrapezprofil Typ **M 135.1/310**

Querschnitts- und Bemessungswerte

EN 1993-1-3

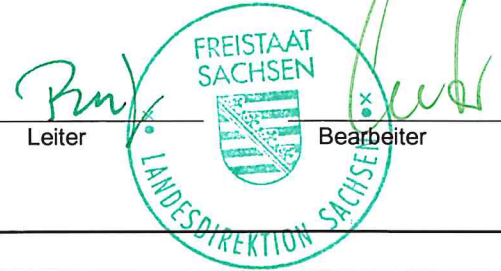
Profiltafel in **Negativlage**



Anlage 10.4

Als Typenentwurf
in bautechnischer Hinsicht geprüft
Prüfbescheid-Nr. **T 18-007**
Landesdirektion Sachsen
- Landesstelle für Bautechnik -

Leipzig, den 09.03.2018



Nennstreckgrenze des Stahlkerns $f_{y,k} = 320 \text{ N/mm}^2$

Maßgebende Querschnittswerte

Nennblechdicke	Eigenlast	Biegung ⁸⁾		Normalkraftbeanspruchung						Grenzstützweiten ¹⁰⁾	
				nicht reduzierter Querschnitt			wirksamer Querschnitt ⁹⁾			L _{gr} in m	
				I_{ef}^+	I_{ef}	A_g	i_g	z_g	A_{eff}	i_{eff}	z_{eff}
mm	kN/m ²	cm ⁴ /m		cm ² /m	cm		cm ² /m	cm			
0,75	0,097	297,00	297,00	11,33	5,03	5,43	4,32	5,89	5,65	6,00	7,50
0,88	0,114	344,00	344,00	13,40	5,03	5,43	5,59	5,85	5,70	8,57	10,70
1,00	0,130	387,00	387,00	15,32	5,03	5,43	6,85	5,82	5,76	9,79	12,20
1,13	0,146	439,54	439,54	17,39	5,03	5,43	8,33	5,78	5,82	10,30	12,30
1,25	0,162	491,00	491,00	19,31	5,03	5,43	9,77	5,74	5,86	12,30	15,40
1,50	0,195	594,00	594,00	23,30	5,03	5,43	12,90	5,63	5,86	14,90	18,60

Schubfeldwerte

Nennblechdicke	Grenz Zustand der Tragfähigkeit ¹⁵⁾				Grenz Zustand der Gebrauchstauglichkeit ¹⁶⁾				F _{t,Rk} in kN ¹⁸⁾			
	L _R ¹¹⁾	T _{1,Rk}	T _{crit,g} ^{11) 12)}	T _{crit,l} ¹²⁾	T _{3,Rk,N}	T _{3,Rk,S} ¹⁷⁾	k ₁ '		k ₂ '		Einleitungslänge a	
							^{13) 14)}		^{13) 14)}		≥ 130 mm	≥ 280 mm
t _N	m	kN/m				m/kN		m ² /kN				
0,75	8,00	56,80	8,75	35,58	1,49	11,44	0,278		48,560		21,00	21,00
0,88	8,00	67,20	11,26	54,17	2,26	17,42	0,235		31,895		24,90	24,90
1,00	8,00	76,80	13,76	75,64	3,16	24,32	0,206		22,843		28,35	28,35
1,13	8,00	87,20	16,65	103,91	4,34	33,41	0,181		16,629		32,25	32,25
1,25	8,00	96,80	19,47	134,91	5,64	43,37	0,163		12,807		35,85	35,85
1,50	8,00	116,80	25,81	215,75	9,02	69,37	0,135		8,008		43,20	43,20

Beiwerte:

k₁' = 3,76 1/kN ¹⁴⁾ k₂' = 2,17 m²/kN ¹⁴⁾ k₃' = 0,884 ¹⁵⁾

Fußnoten s. Beiblatt 1/2 bzw. 2/2

Beiblatt 1/2	Erläuterungen zu den Querschnitts- und Bemessungswerten (EN 1993-1-3)	
<p>1) Interaktionsbeziehung für M und V (elastisch-elastisch)</p> $\frac{M_{Ed}}{M_{c,Rk,B}/Y_M} \leq 1 \quad \text{wenn} \quad \frac{V_{Ed}}{V_{w,Rk}/Y_M} \leq 0,5$ <p>Für $\frac{V_{Ed}}{V_{w,Rk}/Y_M} > 0,5$ gilt Gleichung 6.27 (EN 1993-1-3), die im Sinne der Sicherheit vereinfacht werden kann:</p> $\frac{M_{Ed}}{M_{c,Rk,B}/Y_M} + \left(2 \cdot \frac{V_{Ed}}{V_{w,Rk}/Y_M} - 1\right)^2 \leq 1$	<p>2) Interaktionsbeziehung für M und R (elastisch-elastisch)</p> <p>Lineare Interaktionsbeziehung für M und R:</p> $\frac{M_{Ed}}{M_{c,Rk,B}/Y_M} \leq 1 \quad \text{und} \quad \frac{F_{Ed}}{R_{w,Rk,B}/Y_M} \leq 1$ $\frac{M_{Ed}}{M_{0,Rk,B}/Y_M} + \frac{F_{Ed}}{R_{0,Rk,B}/Y_M} \leq 1$ <p><u>Anmerkung:</u> Für rechnerisch ermittelte Werte gilt: $M_{0,Rk,B} = 1,25 \cdot M_{c,Rk,B}$ und $R_{0,Rk,B} = 1,25 \cdot R_{w,Rk,B}$</p>	
<p>3) Werden quer zur Spannrichtung und rechtwinklig zur Profilebene Linienlasten in das Trapezprofil eingeleitet, so ist der Nachweis der Tragfähigkeit aus der umgekehrten Profillage als Interaktionsnachweis (vgl. Fußnote 2) durchzuführen.</p>		
<p>4) Für kleinere Zwischenauflegerlängen $l_{a,B}$ als angegeben, müssen die aufnehmbaren Tragfähigkeitswerte linear im entsprechenden Verhältnis reduziert werden. Für $l_{a,B} < 10$ mm, z.B. bei Rohren, darf maximal der Wert für $l_{a,B} = 10$ mm eingesetzt werden.</p>	<p>Quadratische Interaktionsbeziehung für M und R:</p> $\frac{M_{Ed}}{M_{c,Rk,B}/Y_M} \leq 1 \quad \text{und} \quad \frac{F_{Ed}}{R_{w,Rk,B}/Y_M} \leq 1$ $\frac{M_{Ed}}{M_{0,Rk,B}/Y_M} + \left(\frac{F_{Ed}}{R_{0,Rk,B}/Y_M}\right)^2 \leq 1$	
<p>5) Bei Auflagerlängen, die zwischen den aufgeführten Auflagerlängen liegen, dürfen die aufnehmbaren Tragfähigkeitswerte jeweils linear interpoliert werden.</p>		
<p>6) Der Profilüberstand für die wirksame Auflagerlänge $l_{a,A1}$ ist mit $c \geq 40$ mm einzuhalten. Die Auflagerkräfte $R_{w,Rk,A}$ dürfen verdoppelt werden, wenn für $l_{a,A1}$ der Profilüberstand $c \geq 1,5 \cdot h_w$ ausgeführt wird. Die Auflagerlänge $l_{a,A2}$ entspricht, abweichend von EN 1993-1-3 6.1.7.3(4), der wirksamen Auflagerlänge einschließlich des Profilüberstandes c. Die hier für $l_{a,A2}$ angegebenen Auflagerkräfte $R_{w,Rk,A}$ sind experimentell bestätigte oder von diesen abgeleitete Werte.</p>		
<p>7) Tragfähigkeitsnachweis (plastisch-plastisch) für andrückende Einwirkungen:</p> <p>Stützmomente sind auf die sich aus den jeweils angrenzenden Feldlängen ergebenden Reststützmomente $M_{R,Rk}/Y_M$ zu begrenzen. Für das damit unter Bemessungslasten entstehende maximale Feldmoment muss gelten:</p> $M_{Ed} \leq M_{c,Rk,F}/Y_M$ <p>Außerdem ist für die im Endfeld entstehende Endauflagerkraft folgende Bedingung einzuhalten:</p> $F_{Ed} \leq R_{w,Rk,A}/Y_M$ <p>Für den Nachweis der Gebrauchstauglichkeit ist am elastischen System nachzuweisen, dass bei gleichzeitigem Auftreten von Stützmoment und Auflagerkraft an einer Zwischenstütze die 0,9-fache Beanspruchbarkeit nicht überschritten wird (vgl. Fußnote 2). Sind keine Werte für Reststützmomente angegeben, ist beim Tragfähigkeitsnachweis $M_{R,Rk} = 0$ zu setzen.</p>		
<p>8) Wirksame Trägheitsmomente für die Lastrichtung nach unten (+) bzw. oben (-).</p>		
<p>9) Wirksamer Querschnitt für eine konstante Druckspannung $\sigma = f_{y,k}$.</p>		
<p>10) Maximale Stützweiten, bis zu denen das Trapezprofil ohne Last verteilende Maßnahmen begangen werden darf.</p>		
<p>11) Die Werte gelten nur für $\beta_v \leq 0,2$. Für $\beta_v \geq 0,3$ ist der Nachweis mit $l_{a,B} = 10$ mm zu führen.</p> $\beta_v = \frac{ V_{Ed,1} - V_{Ed,2} }{ V_{Ed,1} + V_{Ed,2} }$ <p>Dabei sind $V_{Ed,1}$ und $V_{Ed,2}$ die Beträge der Querkräfte auf jeder Seite der örtlichen Lasteinleitung oder der Auflagerreaktion. Es gilt: $V_{Ed,1} \geq V_{Ed,2}$</p>		
<p>12) Blechdicke: Minustoleranz nach DIN EN 10143:2006, Tabelle 2 „Eingeschränkte Grenzabmaße (S)“</p>		

Schubfelder nach Bryan/Davies

13) Der globale kritische Beulschubfluss ist an die vorhandenen Stützweiten anzupassen:
 $T'_{crit,g} = T_{crit,g} \cdot (L_R/L_{Si})^2$ mit L_{Si} = maximale Einzelstützweite in m. Für Einfeldträger kann $T_{crit,g}$ verdoppelt werden.

14) Der Grenzwert der Beanspruchbarkeit infolge Beulen ergibt sich aus:
 $T_{2,Rk} = 0,7 \cdot \frac{T'_{crit,g} \cdot T_{crit,l}}{T'_{crit,g} + T_{crit,l}}$, wenn $T_{crit,l}$ angegeben ist. Andernfalls ist $T_{2,Rk} = 0,7 \cdot T'_{crit,g}$.

15) Der Grenzwert der Beanspruchbarkeit zur Einhaltung des maximalen Gleitwinkels 1/750 ergibt sich aus:
 $T_{4,Rk} = \frac{1}{750} \cdot \frac{1}{(k'_1 \cdot \alpha_2 + k'_2 \cdot \alpha_1 \cdot \alpha_4 / L_S)} \cdot 10^4$ mit L_S = Gesamtlänge des Schubfeldes in m.

16) Die Schubsteifigkeit S zur Berechnung der Gesamtverformung des Schubfeldes unter dem Schubfluss T ergibt sich zu:

$$S = \frac{10^4}{\left[(k'_1 \cdot \alpha_2 + k'_1 \cdot e_L) + \frac{(k'_2 \cdot \alpha_1 \cdot \alpha_4 + k'_2 \cdot \alpha_3)}{L_S} \right]}$$

mit

e_L = Abstand der Verbindungselemente in den Längsstößen in m.

Bei Sonderausführung der Befestigung kann k_2' halbiert werden (Fußnote 19))

Beiwerte zu 15) und 16):

Anzahl der Felder →	1	2	3	4	5	6	7	8
Anzahl der Auflager →	2	3	4	5	6	7	8	9
α_1	1,00	1,00	0,85	0,70	0,60	0,60	0,60	0,60
α_2	1,00	1,00	0,75	0,67	0,55	0,50	0,44	0,40
α_3	1,00	1,00	0,90	0,80	0,71	0,64	0,58	0,53

$\alpha_4 = 1,00$
 (ohne Querstoß im Schubfeld)
 $\alpha_4 = 1,3 + 0,3 \cdot n'_{b}$
 (n'_{b} = Anzahl der Querstöße im Schubfeld)

17) Im Grenzzustand der Tragfähigkeit ist nachzuweisen:
 $T_{E,d} \leq \frac{T_{1,Rk}}{\gamma_{M1}}$ und $T_{E,d} \leq \frac{T_{2,Rk}}{\gamma_{M1}}$ Die Bemessungswerte der Quer- und Auflagerkräfte sind um $F_{Ed,S} = k'_3 \cdot T_{E,d}$ zu vergrößern.

18) Im Grenzzustand der Gebrauchstauglichkeit ist nachzuweisen:
 $T_{E,d} \leq \frac{T_{3,Rk,N}}{\gamma_{M,ser}}$ oder $T_{E,d} \leq \frac{T_{3,Rk,S}}{\gamma_{M,ser}}$ Der Nachweis von $T_{3,Rk}$ ist nur bei bituminös verklebten Dachaufbauten erforderlich.
 $T_{E,d} \leq \frac{T_{4,Rk}}{\gamma_{M,ser}}$

19) Sonderausführungsarten der Befestigung:

Eine Sonderausführung der Befestigung ist gegeben, wenn jede Rippe mit je einem Befestigungselement unmittelbar neben jedem Steg des Trapezprofils (siehe Bild 1) befestigt wird. Alternativ darf eine runde oder rechteckige Unterlegscheibe (siehe Bild 2), die unter das mittig eingebrachte Befestigungselement anzuordnen ist, verwendet werden. Die Unterlegscheibe muss den Untergurt in seiner gesamten ebenen Breite überdecken.

Für die Scheibendicke gilt:

$$d \geq 2,7 \cdot t_{cor} \cdot \sqrt[3]{\frac{l}{c_u}} \text{ und } d \geq 2,00 \text{ mm}$$

mit

l = Untergurtbreite des Trapezprofils

c_u = Breite der Unterlegscheibe in Trapezprofilängsrichtung oder Durchmesser der Unterlegscheibe

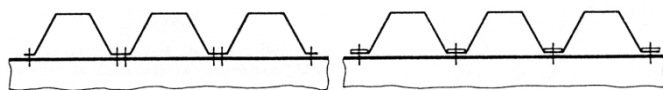


Bild 1

Bild 2

20) Einzellasten $F_{t,Rk}$ in kN je Rippe für die Einleitung in Trapezprofile in Spannrichtung ohne Lasteinleitungsträger.